

# Στερεοσκοπική όραση με χρήση νευρωνικού δικτύου

Βασίλης Γκολέμης

Επιβλέπων: Αναστάσιος Ντελόπουλος

Ομάδα κατανόησης πολυμέσων  
Εργαστήριο Επεξεργασίας Πληροφορίας  
Αριστοτέλειο Πανεπιστήμιο Θεσσαλονίκης

3 Νοεμβρίου 2017

# Κατανόηση 3D χώρου

Γιατί;

- Πλοήγηση (ρομποτική, αυτόνομη οδήγηση, ιατρική)
- Αλληλεπίδραση (αυτοματοποίηση παραγωγής)
- Καταγραφή (δημιουργία χάρτη από αεροφωτογραφία)

Πως;

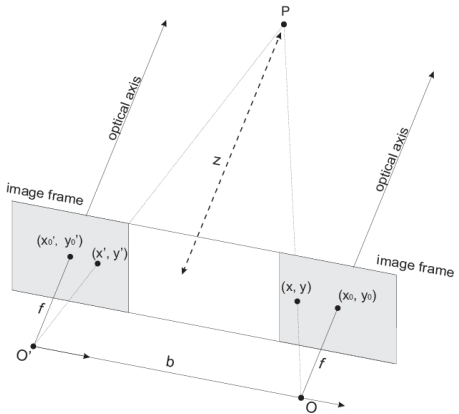
- Lidar
- Όραση (monocular, **stereo**, multiview)
- Δομημένο φως (kinect)

# Στερεοσκοπική Γεωμετρία

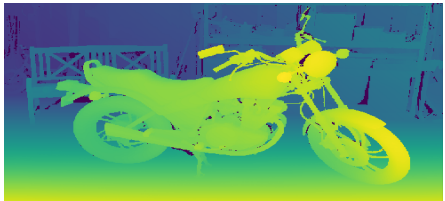
- $P = (X, Y, Z)$
- $y' = y$  (στερεοσκοπικός περιορισμός)
- $x' = f \frac{X}{Z}$
- $x = f \frac{X - b}{Z}$
- $Z = \frac{fb}{d}$
- $d = x' - x$  (παράλλαξη)

Στόχος:

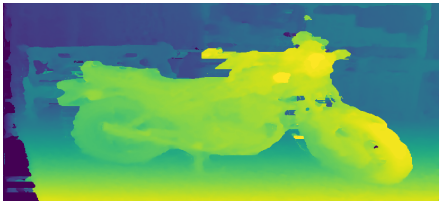
- $\forall p \in I_L$  βρες  $d$



# Χάρτης παράλλαξης



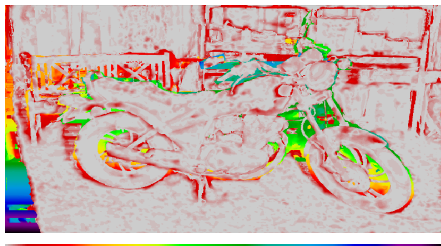
( $\alpha'$ )  $D_{\text{ground\_truth}}^L$



( $\beta'$ )  $D_{\text{predicted}}^L$

# Αξιολόγηση χάρτη παράλλαξης

- Απόλυτο σφάλμα πρόβλεψης → μέση τιμή ( $2.058px$ )
- Απόλυτο σφάλμα πρόβλεψης με ανώφλι → σφάλμα ( $9.891\%$ )
- Οπτικοποίηση είτε ως **εικόνα** είτε ως ιστόγραμμα



$$(\alpha') \text{ AD} = |D_{\text{ground\_truth}}^L - D_{\text{predicted}}^L| \in [0, 60]px$$



$$(\beta') \text{ AD}_{\text{threshold}} = |D_{\text{ground\_truth}}^L - D_{\text{predicted}}^L| \gtrsim 3px$$

Πως ψάχνουμε αντίστοιχα σημεία;

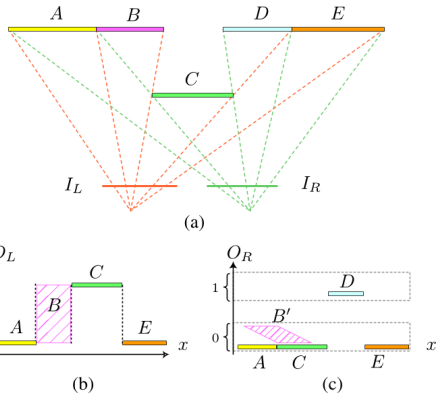
(i) Ομοιότητα γειτονιάς:

- Παρόμοιο σχήμα, υψή στις δύο προβολές
- small baseline (20cm)

(ii) Στερεοσκοπικοί περιορισμοί:

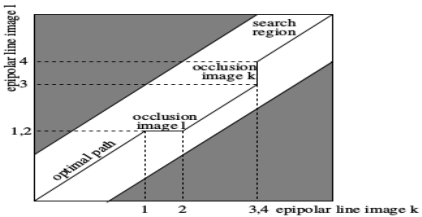
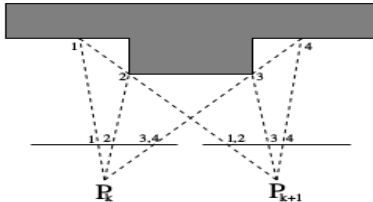
- Περιορισμός συνέχειας/ασυνέχειας
- Περιορισμός μοναδικότητας
- Συνέπεια διάταξης σημείων

Ασυνέχεις επιφάνειες → ασυνέχειες παράλλαξης + αποκρύψεις → πηγή προβλημάτων!



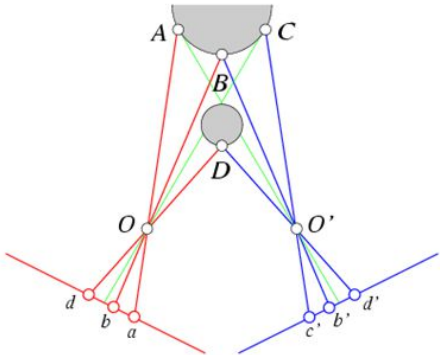
# Περιορισμός μοναδικότητας

- Υπάρχει '1-1' σχέση μεταξύ σημείων αριστερής/δεξιάς λήψης.
- Αίρεται όταν υπάρχουν αποκρύψεις



# Συνέπεια διάταξης σημείων

- Αν για σημεία  $p_1, p_2$  της μιας λήψης ισχύει  $x_1 < x_2$  το ίδιο θα ισχύει και για τα «αντίστοιχα» σημεία τους
- Αίρεται όταν υπάρχουν αποκρύψεις



# Επίλυση Προβλήματος

Χωρίζουμε το πρόβλημα σε 3 στάδια:

- 1 Δημιουργία πίνακα κόστους:  $I^L, I^R \rightarrow C$

$C(d, x, y)$ : πόση ομοιότητα εμφανίζει η γειτονιά του  $I^L(x, y)$  με αυτή του  $I^R(x - d, y)$

- 2  $C_{init} \rightarrow C_{optimized} \xrightarrow{\arg\min_d C(d, x, y)} D_{init}$

- 3  $D_{init} \rightarrow D_{optimized}$

# Πίνακας $C$ : Απλές μέθοδοι vs Νευρωνικό Δίκτυο

- Άθροισμα απόλυτων διαφορών:

$$C(d, p) = - \sum_{q \in N_p} |I^L(q) - I^R(q-d)|$$

- Ομοιότητα συνημιτόνου:

$$C(\mathbf{p}, d) = \frac{\sum_{\mathbf{q} \in N_p} I^L(\mathbf{q}) I^R(\mathbf{q} - \mathbf{d})}{\sqrt{\sum_{\mathbf{q} \in N_p} I^L(\mathbf{q})^2 \sum_{\mathbf{q} \in N_p} I^R(\mathbf{q} - \mathbf{d})^2}}$$

- Απόσταση Hamming σε μετασχηματισμό Census

## Νευρωνικό Δίκτυο

- Πλεονέκτημα:

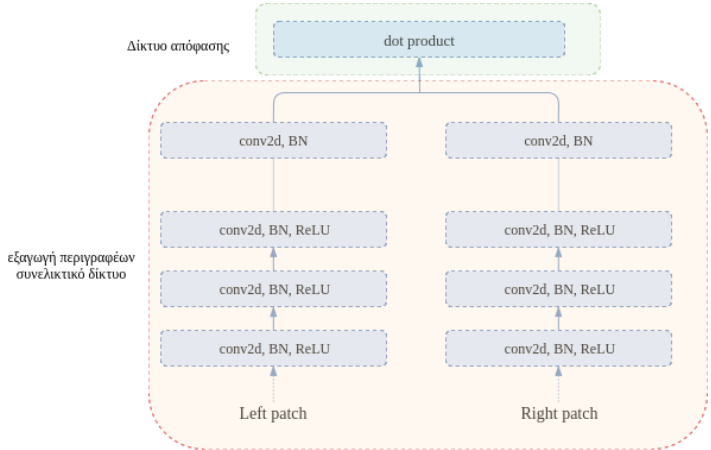
- Εξαγωγή βέλτιστου τοπικού περιγραφέα γειτονιάς από τα δεδομένα - ο σχεδιασμός του από προγραμματιστή θα ήταν αδύνατος
- Βέλτιστος; Ενσωματώνει ποιοτικά χαρακτηριστικά (σχήμα, υφή κλπ) της γειτονιάς που μένουν αμετάβλητα στις δύο προβολές

Μειονέκτημα:

- Ύπολογιστική πολυπλοκότητα: συνελικτικό νευρωνικό δίκτυο 8 κρυφών επιπέδων. Απαραίτητη η χρήση GPU. Ακόμα κι έτσι,

$$\text{Χρόνος εκτέλεσης} \approx 1 \frac{\text{sec}}{\text{εικόνα}}$$

# Αρχιτεκτονική νευρωνικού δικτύου



# Είσοδοι συνελικτικού νευρωνικού δικτύου

Κατά την εκπαίδευση:

- **left patch:** γειτονιά  $N_p$  μεγέθους  $[19 \times 19]$  γύρω από σημείο  $I^L(p)$
- **right patch:** χωρίο μεγέθους  $[(19 + \text{max\_disparity}) \times 19]$ . Το χωρίο περιλαμβάνει τις γειτονιές  $N_p$  όλων την υποψήφιων «αντίστοιχων» σημείων  $I^R(p - d)$
- συνέλιξη χωρίς zero-padding → χωρικές διαστάσεις μειώνονται κατά 2 σε κάθε μπλοκ  $(19 - (8 \cdot 2)) = 1$



(a) left patch



(b) right patch

Κατά την εκτέλεση:

- Ολόκληρες εικόνες  $I^L, I^R \rightarrow$  με zero padding.

# Έξοδοι συνελικτικού νευρωνικού δικτύου

Κατά την **εκπαίδευση**:

- $I_{desc}^L(p)$ : τον descriptor του left patch
- τους  $\text{max\_disparity} + 1$  descriptors των αντίστοιχων γειτονιών των σημείων  $I^R(p - d) \forall d \in [0, \dots, \text{max\_disparity}]$
- $I_{desc}^L(p) \in \mathbb{R}^{64}$

Κατά την **εκτέλεση**:

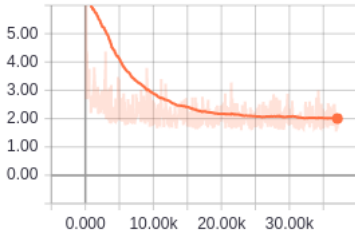
- $I_{desc}^L, I_{desc}^R$ : descriptors κάθε θέσης αριστερής και δεξιάς εικόνες

Το δίκτυο απόφασης λειτουργεί όμοια σε εκπαίδευση/εκτέλεση:

- Συγκρίνουμε descriptors με dot product

# Εκπαίδευση

- Σύγκριση  $I_{desc}^L(\mathbf{p})$  και  $I_{desc}^R(\mathbf{p} - \mathbf{d})$   $\forall d \in [0, \dots, \text{max\_disparity}]$ . Αποθηκεύουμε τις τιμές στο διάνυσμα *similarity*.
- $C_{data}$ : softmax cross entropy μεταξύ των διανυσμάτων *similarity* και *label* (δείχνει την σωστή τιμή παράλλαξης)
- $C_{reg} = \lambda \sum_i \Theta_i^2$ , προσθέτουμε dropout(0.4) μετά από κάθε ReLU
- Optimizer: ADAM
- Εκπαίδευση σε  $\approx 4 \times 10^6$  παραδείγματα
- batch size = 128



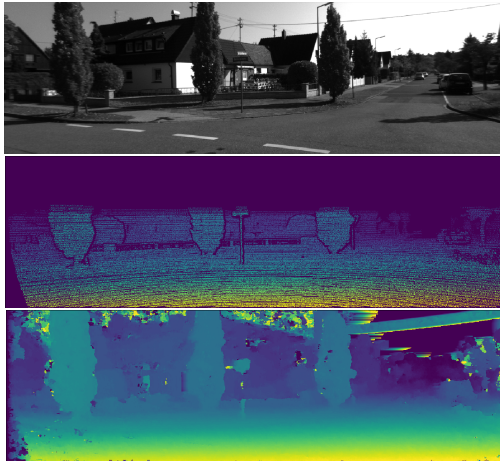
# Εκπαίδευση vs εκτέλεση

Γιατί διαφορετικές είσοδοι σε εκπαίδευση και εκτέλεση;

- Τρικ για την αύξηση του dataset. Κάθε εικόνα δημιουργεί  $\approx 10^5$  παραδείγματα
- training set: 125 εικόνες  $\rightarrow 15 \times 10^6$
- Τι χάνουμε; Περιορισμός στα layers που μπορούμε να χρησιμοποιήσουμε. Αποκλείονται layers που αλλοιώνουν χωρικές διαστάσεις (πχ max pool)

# Αποτέλεσμα νευρωνικού δικτύου

- μέσο απόλυτο σφάλμα:  $1.132px$
- πιο σοστό σφάλματος:  $5.846\%$
- μέθοδος AD-Census:  $19.84\%$



## Βήμα 2: $C_{init} \rightarrow C_{optimized}$

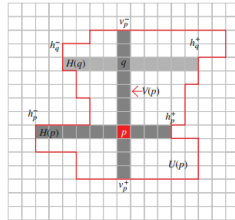
- συνεχείς περιοχές  $\rightarrow$  συνεχής παράλλαξη
- Προσεκτική δημιουργία γειτονιών  $N_p$  με μέθοδο σταυρού (Mei et. al 2011)

Πήγαινε κάτω, πάνω, αριστερά, δεξιά όσο:

$$|I(p) - I(p')| < \text{intensity\_threshold}$$

$$\|\mathbf{p} - \mathbf{p}'\| < \text{distance\_threshold}$$

$N_p$ : οριζόντιες ευθείες των σημείων της κάθετης ευθείας του σημείου  $p$



# Μέσος όρος κόστους σε γειτονιές

$\forall C(d, x, y)$ :

- υπολόγισε την τομή των γειτονιών του  $I^L(x, y)$  και του  $I^R(x - d, y)$
- αποθήκευσε ως  $C_{opt}(d, x, y)$  το μέσο όρο των  $C$  στην παραπάνω γειτονιά

Παρατηρήσεις:

- υποθέτει: δύο pixels στην ίδια γειτονιά θα έχουν συνήθως ίδιο ή κοντινό  $d$
- εξιμαλύνει αστάθειες στον αρχικό πίνακα κόστους
- μπορούμε να εφαρμόσουμε το βήμα επαναληπτικά  $n$  φορές

# Semi-global matching (1)

$$E_C(D) = \sum_{\mathbf{p}} \left( C(\mathbf{p}, D(\mathbf{p})) + \sum_{\mathbf{q} \in \mathcal{N}_{\mathbf{p}}} P_1 \cdot 1\{|D(\mathbf{p}) - D(\mathbf{q})| = 1\} \right. \\ \left. + \sum_{\mathbf{q} \in \mathcal{N}_{\mathbf{p}}} P_2 \cdot 1\{|D(\mathbf{p}) - D(\mathbf{q})| > 1\} \right)$$

Παρατηρήσεις:

- Heiko Hirschmüller - 2008
- εξομαλύνει τον πίνακα κόστους  $C$  λαμβάνοντας υπ' όψη το σύνολο των τιμών του
- οι «τιμωρίες»  $P_1$  και  $P_2$  μειώνονται αν οι φωτεινότητες γειτονικών pixel έχουν μεγάλη απόκλιση (πιθανή ακμή)
- αδύνατο να επιλυθεί καθολικά, οι πιθανές τιμές του  $D$  είναι  $(m \times n)^{\max\_disparity}$
- το αντιμετωπίζουμε με δυναμικό προγραμματισμό σε με μεμονωμένες κατευθύνσεις

## Semi-global matching (2)

Επιλέγω κατεύθυνση  $r$  κι εφαρμόζω αναδρομική σχέση:

$$C_r(\mathbf{p}, d) = C(\mathbf{p}, d) - \min_k C_r(\mathbf{p} - \mathbf{r}, k) + \min \left\{ C_r(\mathbf{p} - \mathbf{r}, d), C_r(\mathbf{p} - \mathbf{r}, d - 1) + P_1, C_r(\mathbf{p} - \mathbf{r}, d + 1) + P_1, \min_k C_r(\mathbf{p} - \mathbf{r}, k) + P_2 \right\}$$

- Υπολογιστική πολυπλοκότητα  $O(directions \cdot max\_disparity \cdot W \cdot H)$
- όσες περισσότερες κατευθύνσεις τόσο καλύτερο αποτέλεσμα, ο Hirschmüller προτείνει 16
- το εφαρμόζουμε σε 4 (πάνω, κάτω, αριστερά, δεξιά) για να γλιτώσουμε πολυπλοκότητα

## Βήμα 3: $D_{init} \rightarrow D_{opt}$

Μετά τις βελτιώσεις στο πεδίο του  $C$  υπολογίζουμε τον χάρτη (εικόνα) παράλλαξης με μέθοδο winner takes it all:

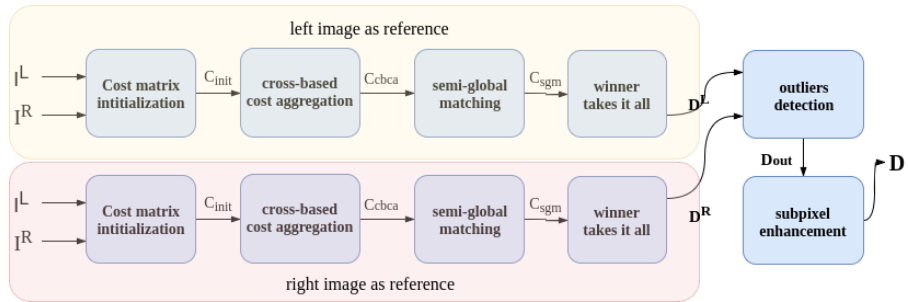
$$D = \operatorname{argmin}_d C(d, x, y)$$

Υπολογίζουμε χάρτες  $D_L, D_R$  θεωρώντας εικόνα αναφοράς  $I_L, I_R$  αντίστοιχα και βασιζόμαστε στον περιορισμό μοναδικότητας:

- $|D^L(\mathbf{p}) - D^R(\mathbf{p} - \mathbf{d})| \leq 1$ , τότε ορθή παράλλαξη και τέλος η αναζήτηση
- $|d - D^R(\mathbf{p} - \mathbf{d})| > 1 \quad \forall d : \{\mathbf{p} - \mathbf{d} \geq 0\}$ , διατρέχω την επιπολική ευθεία κι ελέγχω ότι κανένα άλλο pixel δεν αντιστοιχίζεται με το pixel  $\mathbf{p} \Rightarrow$  απόκρυψη
- αν αντίθετα υπάρχει  $\Rightarrow$  αστοχία πρόβλεψης

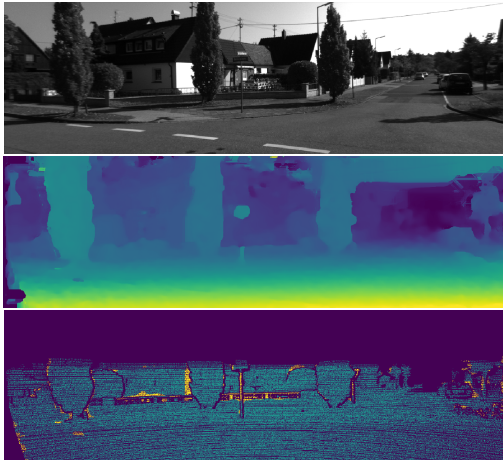
Επανυπολογίζουμε τις τιμές  $D(p)$  με κατάλληλες μεθόδους παρεμβολής από τιμές γειτονικών pixel με σήμανση ορθής παράλλαξης

# Συνολική μέθοδος



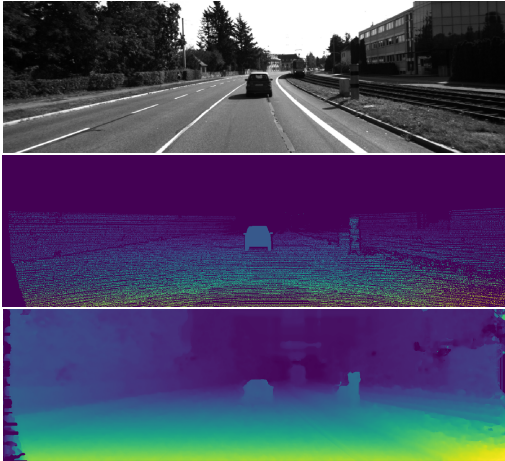
# Ενδεικτικό παράδειγμα ολόκληρης μεθόδου

- μέσο απόλυτο σφάλμα:  $0.62px$
- πιο συστό σφάλματος:  $2.67\%$
- μέθοδος AD-Census:  $5.422\%$



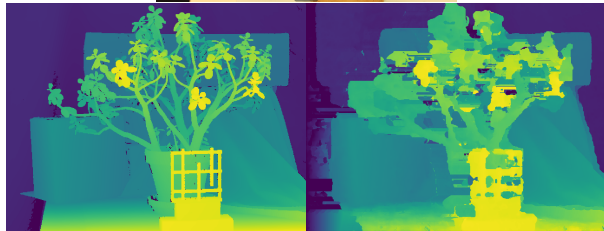
# Από τα καλύτερα

- μέσο απόλυτο σφάλμα:  $1.577px$
- πιο συστό σφάλματος:  $1.248%$

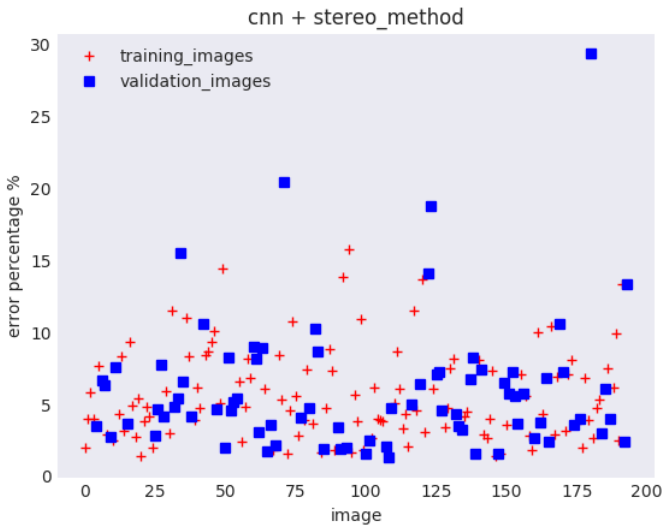


# Από τα χειρότερα

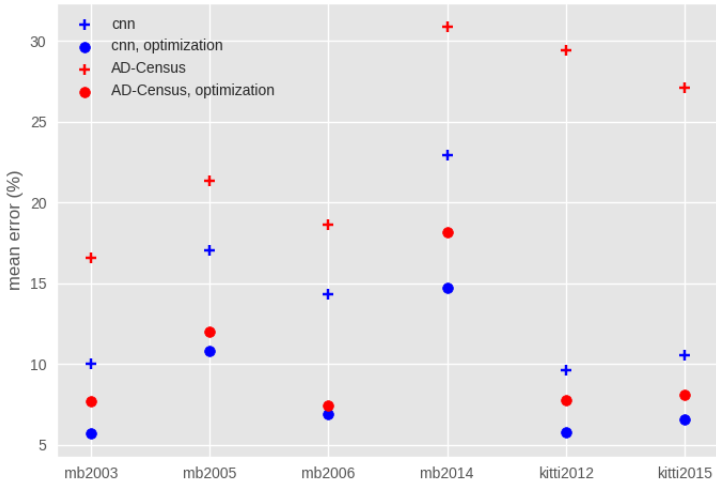
- μέσο απόλυτο σφάλμα: 9.98px
- πιο σοστό σφάλματος: 29.61%



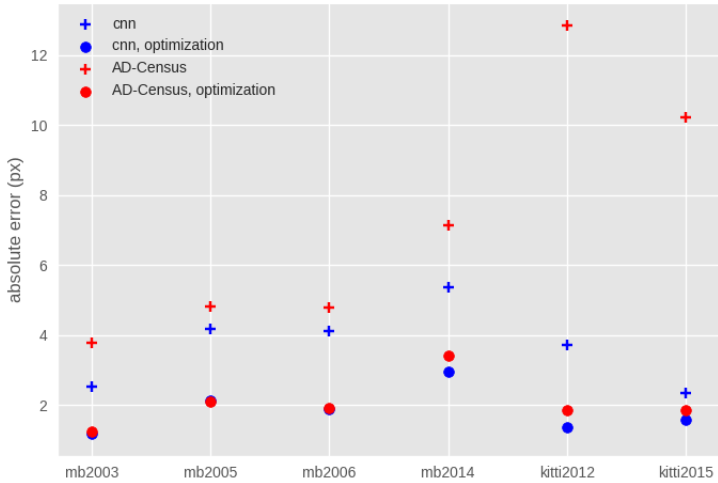
# Αποτελέσματα - KITTI 2012



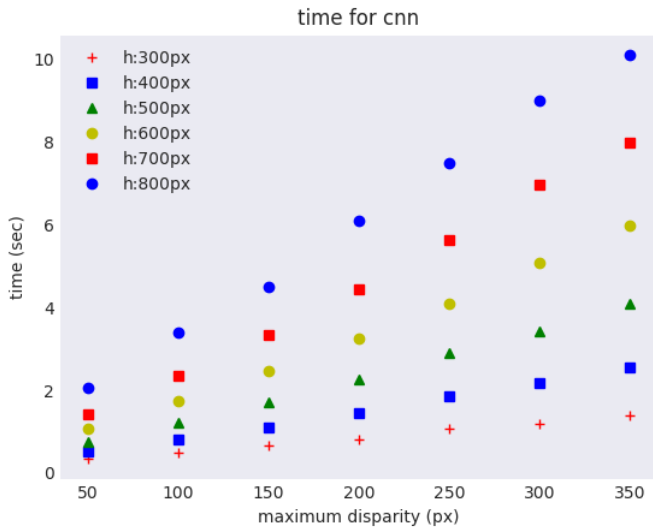
# Αποτελέσματα - Απόλυτο σφάλμα με ανώφλι



# Αποτελέσματα - Απόλυτο σφάλμα



# Αποτελέσματα - Χρόνοι εκτέλεσης νευρωνικού



Επεξεργαστής  
Ομάδα κατανόησης πολυμέσων Εργαστήριο Επεξεργασίας Πληροφορίας Αριστοτέλειο Πανεπιστήμιο Θεσσαλονίκης  
Στερεοσκοπική όραση με χρήση νευρωνικού δικτύου

# Συμπεράσματα

- Σην βελτιώνουν εξαιρετικά την ακρίβεια της μεθοδολογίας
- Αρκετά καλή γενίκευση, ακόμα και σε στερεοσκοπικά ζεύγη τελείως διαφορετικής στατιστικής

Δυσκολίες:

- Ύπολογιστική πολυπλοκότητα - απαραίτητη GPU - αδύνατο να τρέξει απευθείας σε hardware κινητού, απαραίτητη μεσολάβηση server
- Χρόνοι  $\approx 1^{\text{sec}}/\text{image}$  - χρειάζεται επιτάχυνση 25x για live video

Προτάσεις:

- Μοντελοποίηση βημάτων 2, 3 με μηχανική μάθηση (δυσκολία στην πράξη *argmin*)
- Εξερεύνηση τεχνικών unsupervised learning (πχ μέσω reprojection error)
- Βάθος από μια λήψη
- Μείωση χρόνου εκτέλεσης

# Ενδεικτική Βιβλιογραφία

- Jure Zbontar and Yann LeCun (2016): “Stereo matching by training a convolutional neural network to compare image patches”
- Wenjie Luo, Alexander G. Schwing and Raquel Urtasun (2016): “Efficient Deep Learning for Stereo Matching”
- Xing Mei et al (2011): “On building an accurate stereo matching system on graphics hardware”
- Heiko Hirschmuller (2008): “Stereo processing by semiglobal matching and mutual information”

# Τέλος

Ευχαριστώ πολύ για την προσοχή σας!  
Ερωτήσεις;

